



Laboratorium Badań Środowiskowych  
ul. Józefa Piusa Dziekońskiego 3  
00-728 Warszawa  
e-mail: [Laboratorium@networks.pl](mailto:Laboratorium@networks.pl)



AB 419

S P R A W O Z D A N I E 9942/2022/OS  
Z POMIARÓW PÓL ELEKTROMAGNETYCZNYCH  
WYKONANYCH DLA POTRZEB OCHRONY ŚRODOWISKA

Badany obiekt: Instalacja radiokomunikacyjna T-Mobile Polska S.A.  
Numer i nazwa: 24126 (96064N!) WBI\_TUROSNIKOS\_SZERENOSY  
Adres: SZERENOSY DZ.319/1, Powiat białostocki, WOJ. PODLASKIE

Data wykonania pomiarów: 2023-02-07

Sprawozdanie z badań bez pisemnej zgody laboratorium nie może być powielane inaczej niż w całości.  
Wynik przedstawione w niniejszym sprawozdaniu odnoszą się wyłącznie do badanego obiektu i do warunków i konfiguracji urządzeń w dniu wykonywania pomiarów.

**1. Właściciel badanego obiektu:**

T-Mobile Polska S.A., ul. Marynarska 12, 02-674 Warszawa

**2. Zleceniodawca:**

T-Mobile Polska S.A., ul. Marynarska 12, 02-674 Warszawa

**3. Przedstawiciel zleceniodawcy:**

NetWorkS! Sp.z o.o.

**4. Zakres zlecenia:**

Wykonanie badania i opracowanie sprawozdania z pomiarów natężenia pola elektrycznego i pola magnetycznego dla instalacji radiokomunikacyjnej T-Mobile Polska S.A. zlokalizowanej w miejscowości SZERENOSY DZ.319/1.

**5. Cel zlecenia:**

Wykonanie pomiarów pól elektromagnetycznych w otoczeniu instalacji radiokomunikacyjnej 24126 (96064N!) WBI\_TUROSNIKOS\_SZERENOSY w odniesieniu do wymagań określonych w *Rozporządzeniu Ministra Klimatu z dnia 17 lutego 2020 r. w sprawie sposobów sprawdzania dotrzymania dopuszczalnych poziomów pól elektromagnetycznych w środowisku (Dz. U. 2020, poz. 258 z późn. zm. w Dz.U. 2022 poz. 1121)*.

**6. Pomiary zostały wykonane przez:**

Duszczyk Michał  
Dudziński Adam

**7. Informacje o źródłach pól elektromagnetycznych**

**7.1. Sposób identyfikacji badanych źródeł pól elektromagnetycznych**

Identyfikacji źródeł i parametrów technicznych dokonano na podstawie analizy dokumentacji dotyczącej zlecenia oraz obserwacji miejsca wykonywania badań.

**7.2. Opis miejsca zainstalowania anten i urządzeń technicznych. Opis obiektu badań i jego otoczenia**

Instalacja radiokomunikacyjna zlokalizowana jest na terenie ogrodzonym. Anteny zawieszono na wieży kratowej. Urządzenia sterujące oraz zasilające zainstalowano w szafie outdoor u podstawy wieży. Wokół instalacji znajdują się tereny rolnicze.

Instalacja radiokomunikacyjna jest obiektem bezobsługowym. Okresowe stanowiska pracy związane są z prowadzonymi w zależności od potrzeb konserwacjami, przeglądami, strojeniem i naprawami.

### 7.3. Parametry techniczne źródła pola elektromagnetycznego

Dane przedstawiające maksymalne parametry pracy instalacji przekazane przez zleceniodawcę:

Parametry systemu nadawczo-odbiorczego:

Charakterystyka promieniowania		kierunkowa					
Rzeczywisty czas pracy [h/dobę]		24					
Warunki pracy		znamionowe					
Rodzaj wytwarzanego pola		stacjonarne					
Lp.	Częstotliwość lub zakresy częstotliwości pracy [MHz]	Typ/producent anteny	liczba anten	Azymut [°]	kąt pochylenia* [°]	Wysokość środka elektrycznego anteny [m n.p.t.]	Równoważna moc promieniowana izotropowo (EIRP) [W]
1	1800/2100	742236 Kathrein	1	30	2/2	35.8	8153
2	800/900	742265v02 Kathrein	1	30	2/2	38	6190
3	1800/2100	742236 Kathrein	1	170	3/3	35.8	8153
4	800/900	742265v02 Kathrein	1	170	4/4	38	6190
5	1800/2100	742236 Kathrein	1	280	2/2	35.8	8153
6	800/900	742265v02 Kathrein	1	280	2/2	38	6190

\* wskazane wartości kąta pochylenia anten, zgodnie z informacją uzyskaną od zleceniodawcy, są wartościami stałymi

Parametry radiolinii:

Charakterystyka promieniowania		kierunkowa					
Rzeczywisty czas pracy [h/dobę]		24					
Warunki pracy		znamionowe					
Rodzaj wytwarzanego pola		stacjonarne					
Lp.	Linia radiowa			Antena			
	Typ/ Producent	Częstotliwość pracy [GHz]	Równoważna moc promieniowana izotropowo (EIRP) [W]	Typ/ producent	Średnica anteny [m]	Azymut [°]	Wysokość zainstalowania n.p.t [m]
1.	NP ERICSSON ML 6363 18GHz 2x28MHz XPIC NP ERICSSON ML 6352 R2+ 70/80GHz 250MHz Ericsson	18/80	2405/3716	ANT2/2_0.6 18/80 HPX/HP Ericsson	0.6	78	40

### 7.4 Inne źródła pól elektromagnetycznych

Na podstawie informacji otrzymanych od użytkownika oraz obserwacji otoczenia miejsca wykonywania pomiarów nie stwierdzono występowania innych źródeł pola-EM

## 8. Opis pomiarów

### 8.1. Metoda badań

Zgodna z rozporządzeniem Ministra Klimatu z dnia 17 lutego 2020 r. w sprawie sposobów sprawdzania dotrzymania dopuszczalnych poziomów pól elektromagnetycznych w środowisku (Dz. U. 2020, poz. 258 z późn. zm. w Dz.U. 2022 poz. 1121), określona w pkt 25 ppkt 1 załącznika do niniejszego rozporządzenia.

Sprawozdanie z badań bez pisemnej zgody laboratorium nie może być powielane inaczej niż w całości.  
Wynik przedstawione w niniejszym sprawozdaniu odnoszą się wyłącznie do badanego obiektu i do warunków i konfiguracji urządzeń w dniu wykonywania pomiarów.

Zgodnie z art. 122a ust. 1b ustawy Prawo Ochrony Środowiska, w przypadku wprowadzenia na części albo całym terytorium Rzeczypospolitej Polskiej stanu nadzwyczajnego, o którym mowa w art. 228 ust. 1 Konstytucji Rzeczypospolitej Polskiej z dnia 2 kwietnia 1997 r. (Dz. U. poz. 483, z 2001 r. poz. 319, z 2006 r. poz. 1471 oraz z 2009 r. poz. 946), lub stanu zagrożenia epidemicznego lub stanu epidemii, o których mowa w art. 46 ustawy z dnia 5 grudnia 2008 r. o zapobieganiu oraz zwalczaniu zakażeń i chorób zakaźnych u ludzi (Dz. U. z 2019 r. poz. 1239, z późn. zm.8) ), pomiarów, nie przeprowadza się w lokalach mieszkalnych oraz w lokalach użytkowych zlokalizowanych na terytorium objętym stanem nadzwyczajnym, stanem zagrożenia epidemicznego lub stanem epidemii.

W związku z obecnie obowiązującym stanem zagrożenia epidemicznego, pomiarów nie wykonano w lokalach mieszkalnych oraz w lokalach użytkowych zlokalizowanych w obszarze pomiarowym przedmiotowej instalacji radiokomunikacyjnej.

## 8.2. Termin pomiarów i warunki środowiskowe

Podczas wykonywania pomiarów pól elektromagnetycznych nie występowały opady atmosferyczne. Wyniki pomiaru parametrów pogodowych przedstawia poniższa tabela:

Data [rrrr-mm-dd]	Godzina [hh:mm-hh:mm]	Warunki środowiskowe			
		Temperatura [°C]		Wilgotność względna [%]	
2023-02-07	14:00-14:50	Przed pomiarem	Po pomiarach	Przed pomiarem	Po pomiarach
		1.5	1.7	67.8	67.5

Przedstawione wyżej warunki środowiskowe, występujące podczas wykonywania pomiarów pól elektromagnetycznych, są zgodne ze specyfikacją techniczną użytego zestawu pomiarowego.

## 8.3. Warunki pracy urządzeń nadawczych

Podczas pomiarów w przypadku uzyskania wyniku pomiaru szerokopasmowego wykonanego zastosowaną metodą, dla zakresów częstotliwości od 10 MHz do 300 GHz, powiększonego o rozszerzoną niepewność pomiaru  $U$  dla współczynnika rozszerzenia  $k = 2$  przekraczającego 70% najniższej dopuszczalnej wartości składowej elektrycznej lub magnetycznej pola dla objętych pomiarami zakresów częstotliwości, uwzględnia się poprawki pomiarowe przekazane przez zleceniodawcę, umożliwiające uwzględnienie maksymalnych parametrów pracy instalacji zgodnie z pkt 7 załącznika do Rozporządzeniem Ministra Klimatu z dnia 17 lutego 2020 r. w sprawie sposobów sprawdzania dotrzymania dopuszczalnych poziomów pól elektromagnetycznych w środowisku (Dz. U. 2020, poz. 258 z późn. zm. w Dz.U. 2022 poz. 1121) zaznaczając, że wymagane jest wykonanie pomiaru z wykorzystaniem miernika selektywnego. W przypadku uzyskania wyniku pomiaru szerokopasmowego wykonanego zastosowaną metodą, dla zakresów częstotliwości od 10 MHz do 300 GHz, powiększonego o rozszerzoną niepewność pomiaru  $U$  dla współczynnika rozszerzenia  $k = 2$  nieprzekraczającego 70% najniższej dopuszczalnej wartości składowej elektrycznej lub magnetycznej pola dla objętych pomiarami zakresów częstotliwości, nie uwzględnia się poprawek pomiarowych.

## 8.4. Wyposażenie pomiarowe

Zestaw pomiarowy służący do pomiaru natężenia składowej elektrycznej pola elektromagnetycznego złożony z szerokopasmowego miernika i sondy pomiarowej:

Oznaczenie miernika	Producent	Model	Numer fabryczny	Oznaczenie sondy	Producent	Model	Numer fabryczny
M-17	Narda Safety Test Solution	Miernik pól elektromagnetycznych NBM-550	H-0128	S-17	Narda Safety Test Solution	Sonda EF9091	A-0056

Mierniki natężenia pola elektromagnetycznego podlegają okresowemu sprawdzeniu zgodnie z procedurą wewnętrzną P-03 i PB-01. Świadectwo wzorcowania zestawu pomiarowego z dnia 6 kwietnia 2021 o numerze LWIMP/W/114/21 wydane przez Politechnika Wrocławską.

Data ważności świadectwa wzorcowania: 6 kwietnia 2023 (zgodnie z procedurą wewnętrzną P-03).

Oznaczenie miernika	Producent	Model	Numer fabryczny	Oznaczenie sondy	Producent	Model	Numer fabryczny
M-17	Narda Safety Test Solution	Miernik pól elektromagnetycznych NBM-550	H-0128	S-18	Narda Safety Test Solution	Sonda EF0391	D-1437

Sprawozdanie z badań bez pisemnej zgody laboratorium nie może być powielane inaczej niż w całości. Wynik przedstawione w niniejszym sprawozdaniu odnoszą się wyłącznie do badanego obiektu i do warunków i konfiguracji urządzeń w dniu wykonywania pomiarów.

Mierniki natężenia pola elektromagnetycznego podlegają okresowemu sprawdzeniu zgodnie z procedurą wewnętrzną P-03 i PB-01. Świadcstwo wzorcowania zestawu pomiarowego z dnia 6 kwietnia 2021 o numerze LWiMP/W/114/21 wydane przez Politechnika Wrocławską.

Data ważności świadectwa wzorcowania: 6 kwietnia 2023 (zgodnie z procedurą wewnętrzną P-03).

Termohigrometr:

Oznaczenie:	TH-15	Producent:	AZ INSTRUMENT CORP	Model:	Termohigrometr AZ8706
-------------	-------	------------	--------------------	--------	-----------------------

Data ważności świadectwa wzorcowania: 3 stycznia 2025 (zgodnie z procedurą wewnętrzną P-03).

Dalmierz:

Oznaczenie	Producent	Typ	Numer seryjny	Nr świadectwa wzorcowania	Data świadectwa wzorcowania
D-15	Leica	Dalmierz Leica Disto D510	1061801909	L4- L41.4180.14.2017.3086.1	1 września 2017

Data ważności świadectwa wzorcowania: 1 września 2027 (zgodnie z procedurą wewnętrzną P-03).

## 9. Wyniki pomiarów

### Pole elektryczne

Nr pionu	Opis umiejscowienia pionu (punktu) pomiarowego	Wysokość pomiaru [m]	Zmierzona wartość natężenia pola elektrycznego E [V/m] <sup>1,5</sup>			Wartość natężenia pola elektrycznego powiększona o niepewność pomiaru <sup>4</sup> E [V/m]	Wskaźnikowa wartość poziomu emisji pól elektromagnetycznych WMe <sup>3</sup>	Współrzędne geograficzne pionu (punktu) pomiarowego <sup>2</sup>
			Sonda S-17	Sonda S-18	SUMA			
1	GKP w odległości 10m od anteny sektorowej az. 30°	0.3-2.0	<1.0*	<1.0*	<1.0*	1.3	0.05	53°0'30.6" 23°4'3.7"
2	GKP w odległości 30m od anteny sektorowej az. 30°	0.3-2.0	<1.0*	<1.0*	<1.0*	1.3	0.05	53°0'31.3" 23°4'4.4"
3	GKP w odległości 50m od anteny sektorowej az. 30°	0.3-2.0	<1.0*	<1.0*	<1.0*	1.3	0.05	53°0'31.7" 23°4'4.8"
4	GKP w odległości 70m od anteny sektorowej az. 30°	0.3-2.0	<1.0*	<1.0*	<1.0*	1.3	0.05	53°0'32.4" 23°4'5.5"
5	GKP w odległości 90m od anteny sektorowej az. 30°	0.3-2.0	<1.0*	<1.0*	<1.0*	1.3	0.05	53°0'32.8" 23°4'5.9"
6	GKP w odległości 10m od anteny sektorowej az. 170°	0.3-2.0	<1.0*	<1.0*	<1.0*	1.3	0.05	53°0'29.9" 23°4'3.4"
7	GKP w odległości 30m od anteny sektorowej az. 170°	0.3-2.0	<1.0*	<1.0*	<1.0*	1.3	0.05	53°0'29.5" 23°4'3.7"
8	GKP w odległości 50m od anteny sektorowej az. 170°	0.3-2.0	<1.0*	<1.0*	<1.0*	1.3	0.05	53°0'28.8" 23°4'3.7"
9	GKP w odległości 70m od anteny sektorowej az. 170°	0.3-2.0	<1.0*	<1.0*	<1.0*	1.3	0.05	53°0'28.1" 23°4'4.1"
10	GKP w odległości 90m od anteny sektorowej az. 170°	0.3-2.0	<1.0*	<1.0*	<1.0*	1.3	0.05	53°0'27.4" 23°4'4.4"
11	GKP w odległości 10m od anteny sektorowej az. 280°	0.3-2.0	<1.0*	<1.0*	<1.0*	1.3	0.05	53°0'30.6" 23°4'3.0"
12	GKP w odległości 30m od anteny sektorowej az. 280°	0.3-2.0	<1.0*	<1.0*	<1.0*	1.3	0.05	53°0'30.6" 23°4'1.9"
13	GKP w odległości 50m od anteny sektorowej az. 280°	0.3-2.0	<1.0*	<1.0*	<1.0*	1.3	0.05	53°0'30.6" 23°4'0.8"
14	GKP w odległości 70m od anteny sektorowej az. 280°	0.3-2.0	<1.0*	<1.0*	<1.0*	1.3	0.05	53°0'30.6" 23°3'59.8"
15	GKP w odległości 90m od anteny sektorowej	0.3-2.0	<1.0*	<1.0*	<1.0*	1.3	0.05	53°0'31.0" 23°3'58.7"

Sprawozdanie z badań bez pisemnej zgody laboratorium nie może być powielane inaczej niż w całości.

Wynik przedstawione w niniejszym sprawozdaniu odnoszą się wyłącznie do badanego obiektu i do warunków i konfiguracji urządzeń w dniu wykonywania pomiarów.

	az. 280°							
16	GKP w odległości 17m od anteny radioliniowej az. 78°	0.3-2.0	<1.0*	<1.0*	<1.0*	1.3	0.05	53°0'30.6" 23°4'4.4"
17	GKP w odległości 37m od anteny radioliniowej az. 78°	0.3-2.0	<1.0*	<1.0*	<1.0*	1.3	0.05	53°0'30.6" 23°4'5.5"
18	GKP w odległości 57m od anteny radioliniowej az. 78°	0.3-2.0	<1.0*	<1.0*	<1.0*	1.3	0.05	53°0'30.6" 23°4'6.6"
19	GKP w odległości 77m od anteny radioliniowej az. 78°	0.3-2.0	<1.0*	<1.0*	<1.0*	1.3	0.05	53°0'31.0" 23°4'7.3"
20	PPP na az. 344° w odległości 69m od anteny sektorowej az. 280°	0.3-2.0	<1.0*	<1.0*	<1.0*	1.3	0.05	53°0'32.4" 23°4'2.3"
21	PPP na az. 126° w odległości 92m od anteny sektorowej az. 170°	0.3-2.0	<1.0*	<1.0*	<1.0*	1.3	0.05	53°0'28.4" 23°4'7.3"
22	PPP na az. 249° w odległości 79m od anteny sektorowej az. 280°	0.3-2.0	<1.0*	<1.0*	<1.0*	1.3	0.05	53°0'29.5" 23°3'59.4"
-	GKP w odległości 295m od anteny sektorowej az. 30°	0.3-2.0	<1.0*	<1.0*	<1.0*	1.3	0.05	53°0'38.5" 23°4'11.3"
-	GKP w odległości 313m od anteny sektorowej az. 30°	0.3-2.0	<1.0*	<1.0*	<1.0*	1.3	0.05	53°0'39.2" 23°4'12.0"
-	GKP w odległości 243m od anteny sektorowej az. 170°	0.3-2.0	<1.0*	<1.0*	<1.0*	1.3	0.05	53°0'22.7" 23°4'5.9"
-	GKP w odległości 261m od anteny sektorowej az. 170°	0.3-2.0	<1.0*	<1.0*	<1.0*	1.3	0.05	53°0'22.0" 23°4'5.9"
-	GKP w odległości 296m od anteny sektorowej az. 280°	0.3-2.0	<1.0*	<1.0*	<1.0*	1.3	0.05	53°0'32.0" 23°3'47.9"
-	GKP w odległości 314m od anteny sektorowej az. 280°	0.3-2.0	<1.0*	<1.0*	<1.0*	1.3	0.05	53°0'32.0" 23°3'46.8"

Pole magnetyczne (wyznaczone na podstawie pomiaru wartości natężenia pola elektrycznego)

Nr pionu	Opis umiejscowienia pionu (punktu pomiarowego)	Wysokość pomiaru [m]	Wartość natężenia pola magnetycznego H [A/m] <sup>1</sup>			Wartość natężenia pola magnetycznego powiększona o niepewność pomiaru <sup>4</sup> H [A/m]	Wskaźnikowa wartość poziomu emisji pól elektromagnetycznych WM <sub>H</sub> <sup>3</sup>	Współrzędne geograficzne pionu (punktu pomiarowego) <sup>2</sup>
			Sonda S-17	Sonda S-18	SUMA			
1	GKP w odległości 10m od anteny sektorowej az. 30°	0.3-2.0	<0.003*	<0.003*	<0.003*	0.003	0.05	53°0'30.6" 23°4'3.7"
2	GKP w odległości 30m od anteny sektorowej az. 30°	0.3-2.0	<0.003*	<0.003*	<0.003*	0.003	0.05	53°0'31.3" 23°4'4.4"
3	GKP w odległości 50m od anteny sektorowej az. 30°	0.3-2.0	<0.003*	<0.003*	<0.003*	0.003	0.05	53°0'31.7" 23°4'4.8"
4	GKP w odległości 70m od anteny sektorowej az. 30°	0.3-2.0	<0.003*	<0.003*	<0.003*	0.003	0.05	53°0'32.4" 23°4'5.5"
5	GKP w odległości 90m od anteny sektorowej az. 30°	0.3-2.0	<0.003*	<0.003*	<0.003*	0.003	0.05	53°0'32.8" 23°4'5.9"
6	GKP w odległości 10m od anteny sektorowej az. 170°	0.3-2.0	<0.003*	<0.003*	<0.003*	0.003	0.05	53°0'29.9" 23°4'3.4"

Sprawozdanie z badań bez pisemnej zgody laboratorium nie może być powielane inaczej niż w całości.  
Wynik przedstawione w niniejszym sprawozdaniu odnoszą się wyłącznie do badanego obiektu i do warunków i konfiguracji urządzeń w dniu wykonywania pomiarów.

7	GKP w odległości 30m od anteny sektorowej az. 170°	0.3-2.0	<0.003*	<0.003*	<0.003*	0.003	0.05	53°0'29.5" 23°4'3.7"
8	GKP w odległości 50m od anteny sektorowej az. 170°	0.3-2.0	<0.003*	<0.003*	<0.003*	0.003	0.05	53°0'28.8" 23°4'3.7"
9	GKP w odległości 70m od anteny sektorowej az. 170°	0.3-2.0	<0.003*	<0.003*	<0.003*	0.003	0.05	53°0'28.1" 23°4'4.1"
10	GKP w odległości 90m od anteny sektorowej az. 170°	0.3-2.0	<0.003*	<0.003*	<0.003*	0.003	0.05	53°0'27.4" 23°4'4.4"
11	GKP w odległości 10m od anteny sektorowej az. 280°	0.3-2.0	<0.003*	<0.003*	<0.003*	0.003	0.05	53°0'30.6" 23°4'3.0"
12	GKP w odległości 30m od anteny sektorowej az. 280°	0.3-2.0	<0.003*	<0.003*	<0.003*	0.003	0.05	53°0'30.6" 23°4'1.9"
13	GKP w odległości 50m od anteny sektorowej az. 280°	0.3-2.0	<0.003*	<0.003*	<0.003*	0.003	0.05	53°0'30.6" 23°4'0.8"
14	GKP w odległości 70m od anteny sektorowej az. 280°	0.3-2.0	<0.003*	<0.003*	<0.003*	0.003	0.05	53°0'30.6" 23°3'59.8"
15	GKP w odległości 90m od anteny sektorowej az. 280°	0.3-2.0	<0.003*	<0.003*	<0.003*	0.003	0.05	53°0'31.0" 23°3'58.7"
16	GKP w odległości 17m od anteny radioliniowej az. 78°	0.3-2.0	<0.003*	<0.003*	<0.003*	0.003	0.05	53°0'30.6" 23°4'4.4"
17	GKP w odległości 37m od anteny radioliniowej az. 78°	0.3-2.0	<0.003*	<0.003*	<0.003*	0.003	0.05	53°0'30.6" 23°4'5.5"
18	GKP w odległości 57m od anteny radioliniowej az. 78°	0.3-2.0	<0.003*	<0.003*	<0.003*	0.003	0.05	53°0'30.6" 23°4'6.6"
19	GKP w odległości 77m od anteny radioliniowej az. 78°	0.3-2.0	<0.003*	<0.003*	<0.003*	0.003	0.05	53°0'31.0" 23°4'7.3"
20	PPP na az. 344° w odległości 69m od anteny sektorowej az. 280°	0.3-2.0	<0.003*	<0.003*	<0.003*	0.003	0.05	53°0'32.4" 23°4'2.3"
21	PPP na az. 126° w odległości 92m od anteny sektorowej az. 170°	0.3-2.0	<0.003*	<0.003*	<0.003*	0.003	0.05	53°0'28.4" 23°4'7.3"
22	PPP na az. 249° w odległości 79m od anteny sektorowej az. 280°	0.3-2.0	<0.003*	<0.003*	<0.003*	0.003	0.05	53°0'29.5" 23°3'59.4"
-	GKP w odległości 295m od anteny sektorowej az. 30°	0.3-2.0	<0.003*	<0.003*	<0.003*	0.003	0.05	53°0'38.5" 23°4'11.3"
-	GKP w odległości 313m od anteny sektorowej az. 30°	0.3-2.0	<0.003*	<0.003*	<0.003*	0.003	0.05	53°0'39.2" 23°4'12.0"
-	GKP w odległości 243m od anteny sektorowej az. 170°	0.3-2.0	<0.003*	<0.003*	<0.003*	0.003	0.05	53°0'22.7" 23°4'5.9"

Sprawozdanie z badań bez pisemnej zgody laboratorium nie może być powielane inaczej niż w całości.  
Wynik przedstawione w niniejszym sprawozdaniu odnoszą się wyłącznie do badanego obiektu i do warunków i konfiguracji urządzeń w dniu wykonywania pomiarów.

-	GKP w odległości 261m od anteny sektorowej az. 170°	0.3-2.0	<0.003*	<0.003*	<0.003*	0.003	0.05	53°0'22.0" 23°4'5.9"
-	GKP w odległości 296m od anteny sektorowej az. 280°	0.3-2.0	<0.003*	<0.003*	<0.003*	0.003	0.05	53°0'32.0" 23°3'47.9"
-	GKP w odległości 314m od anteny sektorowej az. 280°	0.3-2.0	<0.003*	<0.003*	<0.003*	0.003	0.05	53°0'32.0" 23°3'46.8"

GKP – Główny Kierunek Pomiarowy  
PPP – Pomocniczy Pion pomiarowy

<sup>1</sup> wyniki oznaczone \* są wynikami poniżej czułości zestawu pomiarowego

<sup>2</sup> współrzędne geograficzne pozyskane metodą pomiaru bezpośredniego

<sup>3</sup> do wyznaczenia wartości wskaźnikowej  $W_{Me}$  i  $W_{Mh}$  przyjęto na podstawie uzgodnień z klientem oraz rozpoznania źródeł, jako wartości dopuszczalne pola elektrycznego i magnetycznego odpowiednio 28 V/m i 0,073 A/m.

<sup>4</sup> do wyznaczenia niepewności dla wyników poniżej czułości zestawu pomiarowego, przyjęto niepewność dla minimalnej wartości z zakresu pomiarowego.

<sup>5</sup> maksymalna wartość chwilowa

Niepewność oszacowano zgodnie z dokumentem P-03 „Procedura nadzoru nad wyposażeniem” w postaci niepewności rozszerzonej wynikającej z niepewności standardowej pomnożonej przez współczynnik rozszerzenia  $k=2$ .

Całkowita szacowana niepewność rozszerzona składowej E wynosi odpowiednio:

sonda S-17: 28% dla częstotliwości do 3 GHz, sonda S-18: 27.2% dla częstotliwości do 3 GHz

Umiejscowienie pionów (punktów) pomiarowych przedstawiono w załączniku nr 2 do niniejszego sprawozdania.

## 10. Omówienie wyników pomiarów

W związku z tym, że żadna z wartości zmierzonych, udokumentowanych w tabelach w pkt. 9, uzyskanych w skutek zastosowania pomiaru szerokopasmowego, powiększonego o rozszerzoną niepewność pomiaru  $U$  dla współczynnika rozszerzenia  $k = 2$  nie przekroczyła 70% najniższej dopuszczalnej wartości składowej elektrycznej lub magnetycznej pola dla objętych pomiarami zakresów częstotliwości, nie uwzględnia się poprawek pomiarowych.

W wyniku zastosowania sposobu sprawdzenia dotrzymania dopuszczalnych poziomów pól elektromagnetycznych w środowisku, zgodnie pkt 25 ppkt 1 Rozporządzenia Ministra Klimatu z dnia 17 lutego 2020 r. (Dz. U. 2020, poz. 258 z późn. zm. w Dz.U. 2022 poz. 1121), w związku z tym, że żadna z wartości wskaźnikowych, udokumentowanych w tabelach w pkt. 9 nie przekracza wartości 1, stwierdza się, że w miejscach, w których wykonano pomiary w otoczeniu instalacji radiokomunikacyjnej 24126 (96064N!) WBI\_TUROSNIKOS\_SZERENOSY, dopuszczalne poziomy pól elektromagnetycznych w środowisku należy uznać za dotrzymane.

## 11. Podstawa prawna

- 1) Ustawa z dnia 27 kwietnia 2001 r. Prawo ochrony środowiska (t. j. Dz. U. z 2021 r., poz. 1973 z późn.zm.)
- 2) Rozporządzenie Ministra Zdrowia z dnia 17 grudnia 2019 r. w sprawie dopuszczalnych poziomów pól elektromagnetycznych w środowisku (Dz. U. 2019, poz. 2448)
- 3) Rozporządzenie Ministra Klimatu z dnia 17 lutego 2020 r. w sprawie sposobów sprawdzania dotrzymania dopuszczalnych poziomów pól elektromagnetycznych w środowisku (Dz. U. 2020, poz. 258 z późn. zm. w Dz.U. 2022 poz. 1121),
- 4) Akredytacja nr AB 419 wydana przez Polskie Centrum Akredytacji (wydanie 20, z dnia 10 czerwca 2022r.).

Sprawozdanie z badań bez pisemnej zgody laboratorium nie może być powielane inaczej niż w całości.  
Wynik przedstawione w niniejszym sprawozdaniu odnoszą się wyłącznie do badanego obiektu i do warunków i konfiguracji urządzeń w dniu wykonywania pomiarów.



## **12. Spis załączników**

- Załącznik 1. Lokalizacja obiektu badań
- Załącznik 2. Usytuowanie pionów (punktów) pomiarowych
- Załącznik 3. Dokumentacja fotograficzna obiektu badań

## **13. Data wydania i autoryzowania sprawozdania**

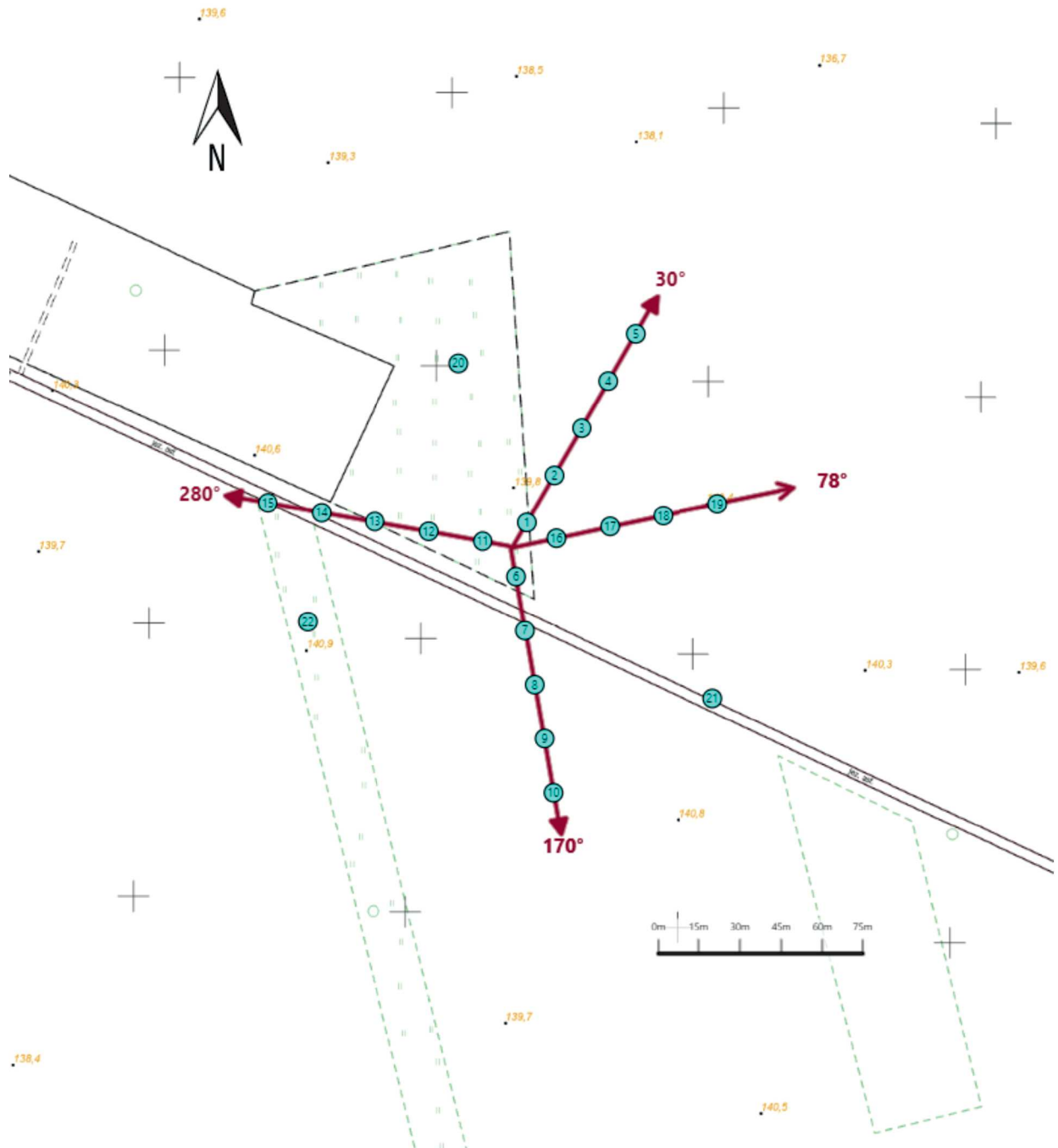
Obliczenia i sprawozdanie wykonał :




Sprawozdanie autoryzował:

**Koniec sprawozdania**

Sprawozdanie z badań bez pisemnej zgody laboratorium nie może być powielane inaczej niż w całości.  
Wynik przedstawione w niniejszym sprawozdaniu odnoszą się wyłącznie do badanego obiektu i do warunków i konfiguracji urządzeń w dniu wykonywania pomiarów.





Załącznik nr 2	<p style="text-align: center;"><b>Instalacja radiokomunikacyjna T-Mobile Polska S.A.</b>  <b>WBI_TUROSNIKOS_SZERENOSY (96064N!)</b>                  Usytuowanie pionów pomiarowych w otoczeniu instalacji radiokomunikacyjnej</p>
	<p>Legenda:</p> <div style="display: flex; justify-content: space-around; align-items: center;"> <div style="text-align: center;">                   Pion pomiarowy             </div> <div style="text-align: center;">                   Kierunek oddziaływania anten sektorowych             </div> <div style="text-align: center;">                   Kierunek oddziaływania anten radioliniowych             </div> </div>



<b>Załącznik nr 3</b>	<b>INSTALACJA RADIOKOMUNIKACYJNA T-Mobile Polska S.A. 24126 (96064N!) WBI_TUROSNIKOS_SZERENOSY</b> Zdjęcia instalacji radiokomunikacyjnej
-----------------------	--